



TVORBA MAP POVODŇOVÉHO NEBEZPEČÍ A POVODŇOVÝCH RIZIK PRO OBLASTI POVODÍ HORNÍ VLTAVY, BEROUNKY A DOLNÍ VLTAVY

DÍLČÍ POVODÍ HORNÍ VLTAVY

B. TECHNICKÁ ZPRÁVA – HYDRODYNAMICKÉ MODELY A MAPY POVODŇOVÉHO NEBEZPEČÍ

OTAVA – 10100013_2 ř.km 52,00 – 57,00 (PV-5-2)



05.2013



OPERAČNÍ PROGRAM
ŽIVOTNÍ PROSTŘEDÍ



EVROPSKÁ UNIE | Pro vodu,
Fond soudržnosti | vzduch a přírodu

TVORBA MAP POVODŇOVÉHO NEBEZPEČÍ A POVODŇOVÝCH RIZIK PRO OBLASTI POVODÍ HORNÍ VLTAVY, BEROUNKY A DOLNÍ VLTAVY

DÍLČÍ POVODÍ HORNÍ VLTAVY

B. TECHNICKÁ ZPRÁVA – HYDRODYNAMICKÉ MODELY A MAPY POVODŇOVÉHO NEBEZPEČÍ

OTAVA – 10100013_2 ř.km 52,00 – 57,00 (PV-5-2)

Pořizovatel:



Povodí Vltavy, státní podnik
Holečkova 8
Praha 5
150 24

Zhotovitel: „DHI + HDP“



DHI a.s.
Na Vrších 1490/5
Praha 10
100 00



Sweco Hydroprojekt a.s.
Táborská 31
Praha 4
140 16



OPERAČNÍ PROGRAM
ŽIVOTNÍ PROSTŘEDÍ



EVROPSKÁ UNIE | Pro vodu,
Fond soudržnosti vzduch a přírodu

Řešitel:



HYDROSOFT Veleslavín s.r.o.
U Sadu 13/62
Praha 6
162 00



DHI a.s.
Na Vrších 1490/5
Praha 10
100 00

V Praze, 05 2013

Obsah:

1	Základní údaje.....	6
1.1	Seznam zkratek a symbolů	6
1.2	Cíle prací.....	6
1.3	Předmět práce	6
1.4	Postup zpracování a metoda řešení	6
2	Popis zájmového území	8
2.1	Všeobecné údaje	9
2.2	Průběhy historických povodní (největší zaznamenané povodně)	11
3	Přehled podkladů.....	12
3.1	Topologická data.....	12
3.1.1	Vytvoření (aktualizace) DMT	12
3.1.2	Mapové podklady.....	12
3.1.3	Geodetické podklady	13
3.2	Hydrologická data	13
3.2.1.	Hydrologické poměry a jejich interpretace ve výpočtovém modelu.....	14
3.3	Místní šetření	14
3.4	Doplňující podklady – technické a provozní informace, zprávy, studie, dokumenty, literatura.....	15
3.5	Normy, zákony, vyhlášky	15
3.6	Vyhodnocení a příprava podkladů	15
4	Popis koncepčního modelu	16
4.1	Schematizace řešeného problému.....	16
4.2	Posouzení vlivu nestacionarity proudění.....	16
4.3	Způsob zadávání OP a PP	16
5	Popis numerického modelu	17
5.1	Použité programové vybavení.....	17
5.2	Vstupní data numerického modelu.....	17
5.2.1	Morfologie vodního toku a záplavového území.....	17
5.2.2	Drsnosti hlavního koryta a inundačních území	18
5.2.3	Hodnoty okrajových podmínek	19
5.2.4	Hodnoty počátečních podmínek	19
5.2.5	Diskuze k nejistotám a úplnosti vstupních dat	19
5.3	Popis kalibrace modelu	20
6	Výstupy z modelu	21
6.1	Záplavové čáry pro průtoky Q_5 , Q_{20} , Q_{100} a Q_{500}	25
6.2	Hloubky pro průtoky Q_5 , Q_{20} , Q_{100} a Q_{500}	25
6.3	Rychlosti pro průtoky Q_5 , Q_{20} , Q_{100} a Q_{500}	25
6.4	Zhodnocení nejistot ve výsledcích výpočtů	25

1 Základní údaje

1.1 Seznam zkratky a symbolů

V následující tabulce č.1 jsou abecedně seřazeny všechny zkratky a symboly použité při zpracování části B, Technická zpráva – hydrodynamické modely a mapy povodňového nebezpečí.

Tabulka č. 1 – Seznam zkratky a symbolů

Zkratka	Vysvětlení
Bpv	Výškový systém Balt po vyrovnání
CDS	Centrální datový sklad
ČHMÚ	Český hydrometeorologický ústav
DMR4G	Digitální model reliéfu České republiky 4. generace
DMR5G	Digitální model reliéfu České republiky 5. generace
DMT	Digitální model terénu
DOP	Dolní okrajová podmínka
DPI	Rozlišení dané počtem bodů na jeden palec (2,5cm)
IDVT CEVT	Identifikátor vodního toku v Centrální evidenci vodních toků
LGS	Limnigrafická stanice
S_JTSK	Souřadný systém jednotné trigonometrické sítě katastrální
SOP	Studie odtokových poměrů
TPE	Technicko provozní evidence
VÚV TGM	Výzkumný ústav vodohospodářský T.G. Masaryka
ZABAGED®	Základní báze geografických dat – digitální topografický model
ZM10	Základní mapa 1:10 000
ZÚ	Záplavová území
1D model	Matematický model jednorozměrného proudění

1.2 Cíle prací

Cílem prací je vyjádření povodňového nebezpečí na základě stanovení těchto charakteristik průběhu povodně:

- hranice rozливů,
- hloubky vody v záplavovém území,
- rychlosti proudění vody v záplavovém území.

Podstatou vyjádření povodňového nebezpečí je určení prostorového rozdělení uvedených charakteristik povodně a zpracování těchto údajů do podoby tzv. map povodňového nebezpečí. Ty slouží v dalším kroku jako podklad pro vyjádření povodňového rizika semikvantitativní metodou uvedenou v „Metodice tvorby map povodňového nebezpečí a povodňových rizik“.

1.3 Předmět práce

Předmět práce zahrnuje tyto činnosti:

- Popis postupů souvisejících se zajištěním vstupních podkladů – stávající + nové (dodatečné zaměření profilů, objektů atd.)
- Sestavení (aktualizace) hydrodynamických modelů a příslušné simulace
- Zpracování výsledků numerického modelování a vytvoření map povodňového nebezpečí (mapy rozливů, hloubek a rychlostí).

1.4 Postup zpracování a metoda řešení

Výchozím podkladem pro zpracování studie byla data z „Otava – Studie odtokových poměrů“, provedená v listopadu 2005 společností Hydrossoft Veleslavín s.r.o. a TPE Otavy provedená společností Gefos a.s. v roce 2011.

Po prostudování poskytnutých dat byl proveden terénní průzkum. Požadavkem objednatele bylo nové sestavení výpočetní trati z výše jmenované TPE Otava 2011. Během terénního průzkumu byl posouzen rozsah geodetických prací a připraveny podklady pro případné geodetické zaměření. V roce 2012, tedy po geodetickém zaměření TPE Otavy byla dokončena výstavba PPO Strakonic na Q100. Výpočetní trať zde byla upravena dle projektu skutečného provedení stavby.

Geodetické zaměření ani výpočetní trať z původní studie nebyly při stavbě modelu použity.

S ohledem na 5- letou platnost hydrologických dat bylo nutné v zájmovém profilu hydrologická data (průtoky n-letých vod) vydávaných ČHMÚ nechat znova ověřit.

Výpočty byly prováděny programem Hydrocheck jako ustálené nerovnoměrné proudění. Po sestavení výpočetní trati z geodetických podkladů z TPE byla celá výpočetní trať zkontrolována tak, aby mohly být provedeny výpočty Q_{500} . Z tohoto důvodu bylo v několika případech potřeba rozšířit údolní profily nad úroveň geodetického zaměření. K tomuto účelu byl použit výškový model terénu vytvořený v programu Atlas - DMT na datech z DMR 5G.

Hydraulické výpočty byly provedeny pro průtoky Q_5 , Q_{20} , Q_{100} , Q_{500} a výsledky těchto výpočtů byly zpracovány v programu Atlas - DMT. Výsledkem byla hrubá mapa hloubek, která sloužila jako jeden z podkladů pro vynášení záplavových čar. Dalšími podklady byly výsledky programu Hydrocheck (průběh hladin v příčných profilech) mapový podklad, fotodokumentace a především znalost zájmového území.

Po správném vnesení záplavových čar byla hrubá mapa hloubek oříznuta těmito polygony a vznikla již čistá mapa hloubek a mapa hladin ve formátu předávaném do CDS.

Výsledky jsou prezentovány v podobě map povodňového nebezpečí v kapitole 6.

2 Popis zájmového území

Název toku: Otava

ID úseku IDVT CEVT: 10100013_2

Číslo hydrologického pořadí toku: 1-08-01-141, 1-08-02-046

Úsek toku: ř. km 52,00 – 57,00

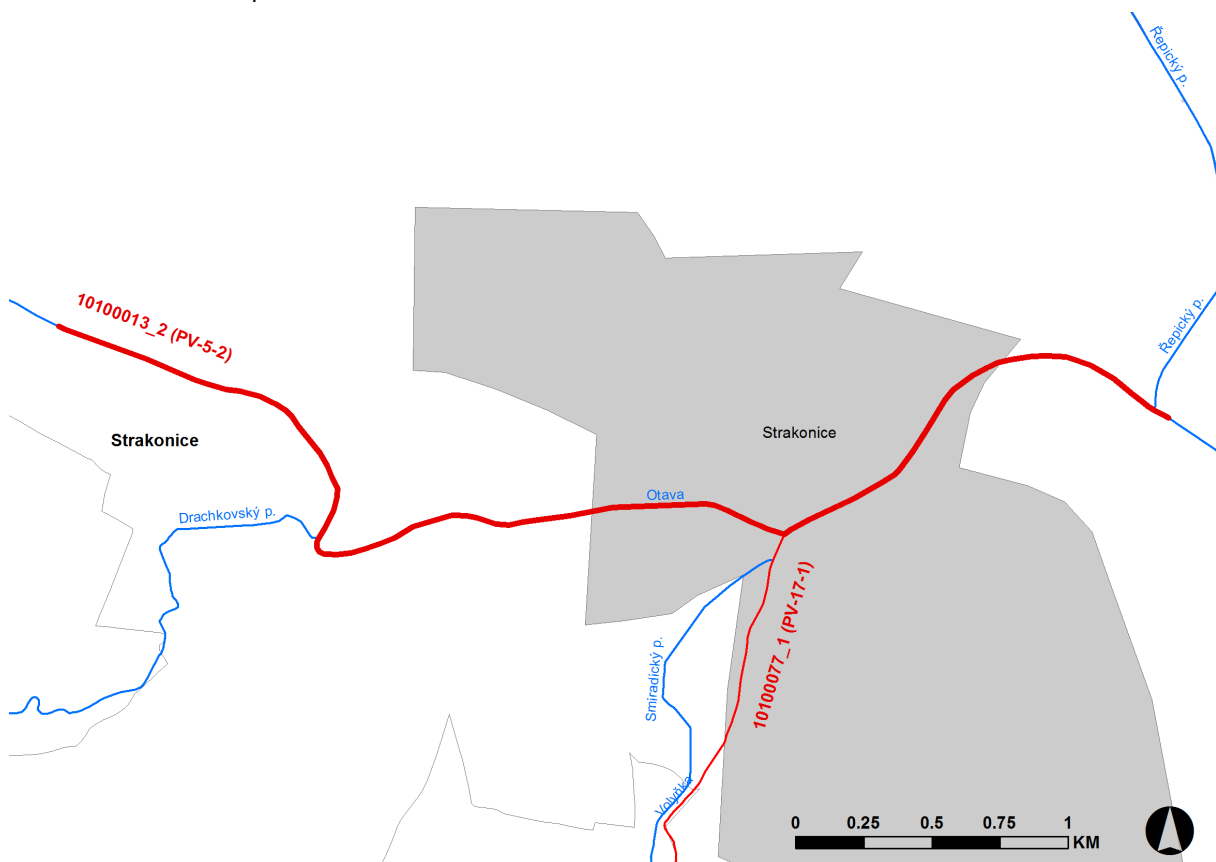
Významná vodní díla:

Významné přítoky: Drachkovský p., Řepický p., Volyňka

Posuzovaný úsek Otavy byl určen od ř. km 52,00 (od vtoku slepého ranema) do ř. km 57,00 (na konec Bažantnice) dle kilometráže poskytnuté objednatelem studie a přesně vymezen zadanými souřadnicemi začátku a konce toku:

začátek: x = -791225,49 y = -1128645,03
konec: x = -795310,56 y = -1128305,67

Obr. 1 – Přehledná mapa řešeného území



Podklady:

Název toku - zdroj VÚV TGM

ID úseku IDVT CEVT - zdroj Ministerstvo zemědělství

Číslo hydrologického pořadí toku - zdroj ČHMÚ

Úsek toku - zdroj Povodí Vltavy s.p.

Významná vodní díla - zdroj ZM10

Významné přítoky - zdroj ZM10

2.1 Všeobecné údaje

Řeka Otava vzniká soutokem Křemelné a Vydry, dvou šumavských bystřin u Čeňkovy pily na ř. km 113,000. Odtud teče na sever přes Sušici, ř. km 92,000 a stáčí se na severovýchod do Horažďovic, ř.km. 72,000. Z Horažďovic se Otava stáčí jihovýchodním a východním směrem ke Strakonicím, ř.km 54,000 a Písku, ř.km 26,000. V Písku se tok stáčí opět na sever a vlévá se do nádrže VD Orlík.

Řeka Otava odvádí vodu z území asi 3800 km², délka řeky je asi 113 km, což ji řadí mezi největší řeky v ČR. Tok protéká intravilány 4 velkých měst a mnoha dalších obcí. Na toku se nachází velké množství objektů, zejména jezů a mostů všech typů. V intravilánech měst i některých obcí zasahuje zástavba často až do příbřežních ploch, někde až k břehovým čáram.

Horní úsek Otavy má podhorský ráz. Nad Rejštejnem je Otava balvanitá s velkým sklonem a velkými rychlostmi vody. Údolí je zde prakticky v celé délce úseku úzké a zalesněné. Úsek mezi Rejštejnem a Sušicí má podobný charakter, sklon dna je však mírnější, břehy převážně zalesněné přechází místy do luk a objevuje se občasná zástavba. Jedinou obcí je Anín, ostatní zástavbu tvoří jednotlivé chaty, kempy a tábořiště. Nad Sušicí je již inundace širší (místy až 500m) a řeka pomalejší. Úsek toku mezi Sušicí a Horažďovicemi ztrácí svůj horský charakter, inundace je již širší (300 – 400 m). Přirozené koryto střídavě v lesním porostu a zemědělsky využívané půdě (většinou louky). Od Horažďovic má tok výrazně nížinný charakter.

Koryto je ve volné krajině neupravené s přirozenou kapacitou cca jednoleté vody. Inundace v dolním úseku toku, široká nezřídka více než 1 km s meandrujícím korytem, které není místa kapacitní ani na jednoletou vodu, má velkou přirozenou transformační schopnost, která velice příznivě ovlivňuje odtokové poměry na toku. Kromě horního toku z Čeňkovy pily nad Sušicí, úsek nad a pod Pískem, kde protéká řeka sevřeným územím a nemá žádnou retenční a transformační schopnost, je většina toku příznivá. Přirozená retenční schopnost toku je velká. Součástí protipovodňové ochrany obcí na toku by tedy měla být i snaha tento stav zachovat a co nejméně zasahovat do toku mimo zastavěná území.

Na řece Otavě, ani v jejím povodí nejsou vybudována žádná významná vodní díla. Nejvýznamnějším je VD Husinec na Blanici. Toto vodní dílo příznivě ovlivňuje kulminační průtoky na Blanici. Jiné vodní dílo, které by umožnilo výraznější manipulaci a mohlo ovlivňovat odtokové poměry, v povodí Otavy není.

Charakter povodí je poměrně příznivý, neboť při regionální srážkové činnosti na Šumavě nemůže dojít k souběhu kulminací na Otavě a jejích nejvýznamnějších přítocích Volyňce a Blanici, což potvrzily katastrofální povodně v roce 2002.

Významnou úlohu při transformaci povodňové vlny má i vegetace v inundaci. Přesto, že převládá zemědělské využití pozemků v zaplavovaném území, nebylo to historicky všude možné a lužní lesy ve střední a dolní části toku mají nevýznamnou rozlohu. Tyto lesy opět až na lokální výjimky zlepšují odtokové poměry.

Vzhledem k charakteru toku odvádějícího významnou část odtoku ze Šumavy je dobré rozdělit přítoky na levobřežní a pravobřežní.

Levobřežní přítoky

ČHP	Tok	plocha povodí [km ²]	Q100 [m ³ /s]
1-08-01-063	Volšovka	74	109
1-08-01-079	Ostružná	169	109
1-08-01-101	Černíčský potok	62	43
1-08-01-110	Mlýnský potok	62	41
1-08-01-124	Březový potok	117	61
1-08-02-080	Brložský potok	122	73
CELKEM		606	436

Pravobřežní přítoky

ČHP	Tok	plocha povodí [km ²]	Q100 [m ³ /s]
1-08-01-045	Losenice	54	89
1-08-01-093	Nezdický potok	76	70
1-08-01-134	Novosedelský potok	101	76
1-08-02-045	Volynka	427	256
1-08-03-096	Blanice	863	304
CELKEM		1521	795

Z výše uvedených tabulek přítoků Otavy je patrné, že Otava protéká ze západu na východ pod Šumavou a že pravobřežní přítoky mají výrazně větší plochu povodí a podstatně větší vodnost. (Sčítání stoletých vod v tabulce je z vodohospodářského hlediska nesmysl a má pouze informativní význam pro hodnocení vodnosti.)

Sklon zájmového úseku je rovnoměrně vzrůstající. Celkový průměrný sklon zájmového úseku je 0,46%.

Jak již bylo řečeno, horní tok Otavy nad Sušicí je výrazně horského charakteru. Pod Sušicí se tok výrazně zklidňuje, inundace se rozšiřuje a rychlosť vody v toku klesá. Silně erozní charakter toku nad Sušicí přechází kolem Horažďovic do charakteru sedimentace splavenin a tok v přirozeném prostředí začíná meandrovat.

úsek	sklon
Čeňkova pila – Rejštejn	0,00680 – 0,01400
Rejštejn – Sušice	0,00380 – 0,00680
Sušice – Horažďovice	0,00250 – 0,00380
Horažďovice – Strakonice	0,00120 – 0,00300
Strakonice – Písek	0,00080 – 0,00200
Písek – Vrcovice	0,00030 – 0,00150

Odtokový režim Otavy je průběžně sledován v pěti hlásných profilech ČHMÚ kategorie A a B - Rejštejn, Sušice, Katovice, Strakonice a Písek. Z toho profily Sušice, Katovice a Písek jsou profily předpovědními.

2.2 Průběhy historických povodní (největší zaznamenané povodně)

Pro zpracování studie v roce 2005 byly k dispozici od PVL (Ing. Marhana) povodňové značky, a to jednak pevné, litinové, tak pracovní zdokumentované těsně po povodni. Vše v digitální podobě na CD. Pro výpočty byl tak k dispozici unikátní soubor dat z povodně 08/2002 – značky kulminačních hladin této povodně na významných objektech na toku i v záplavovém území a to na celém území toku Otavy i Volyňky a ve velmi přijatelné hustotě. V sídelních útvarech ve vzdálenostech často menších než 100 m, v extravidlánech maximálně do několika kilometrů. Značky kulminačních hladin jsou i na všech významnějších vzdouvacích nebo komunikačních objektech na toku. Reprezentují zcela extrémní povodňové stavy, v mnoha lokalitách větší než Q_{100} .

Ucelené soubory kulminačních hladin extrémních povodní jsou velmi potřebnými daty pro kalibrace a následné verifikace vytvořených modelových systémů povodňového proudění. A právě dobře kalibrované a verifikované modely bývají kvalitativně mnohem výše, t. j. lépe vystihují skutečné poměry proudění i za vodních stavů a průtoků odlišných od kalibračních, než modely nekalibrované. Tato možnost (kalibrovat a verifikovat modely Otavy a Volyňky) byla v studii z roku 2005 využita.



Kromě toho se podařilo v průběhu povodní v roce 2006 zaměřit kulminaci v celé řadě dalších povodňových značek. I s těmito značkami se při výpočtech pracovalo.



3 Přehled podkladů

V souladu s vyhláškou č. 236/2002 Sb. byly použity pro zpracování návrhu záplavového území tyto podklady. Pravidla pro citace podkladů se řídí dle ČSN ISO 690 (01 0197).

- Základní mapy 1 : 10 000 – digitální, rastrové – ZAGAGED, poskytlo Povodí Vltavy, s.p.
- Výskopisná data DMR 4G, copyright ČZÚK, a.s., 2011-2012
- Výskopisná data DMR 5G, copyright ČZÚK, a.s., 2011-2012
- Geodetické zaměření – příčné profily, podélný profil, provedla firma GEFOS a.s. v listopadu 2011
- Výsledky hydraulické výpočtu nerovnoměrným prouděním (program Hydrocheck)
- Hydrologická data: N-leté průtoky – ČHMÚ České Budějovice
- Hydrologické poměry ČSSR III. díl, HMÚ Praha 1970
- Podrobný terénní průzkum zpracovatele, uskutečněný v říjnu 2012 zaměřený na zmapování stavu koryta a břehů se zřetelem na místní překážky a další relevantní faktory
- Závěrečná zpráva „Otava – Studie odtokových poměrů“, Hydrossoft Veleslavín s.r.o., listopad 2005
- Zákon č. 257/2001 Sb. - o vodách
- Vyhláška MŽP 236/2002 Sb. – o způsobu a rozsahu zpracování návrhu a stanovování záplavových území
- Geomorfologie Českých zemí, Jaromír Demek a kol., AC 1965
- Vyšší geomorfologické jednotky České republiky, Český úřad zeměměřický a katastrální, Praha 1996
- Metadata poskytnutá Zeměměřickým ústavem k aktuální verzi ZM 10
- Atlas podnebí ČSSR, ČHMÚ
- Wikipedie

3.1 Topologická data

Topologická data jsou základním zdrojem, který je potřebný pro sestavení hydrodynamického modelu. Pomocí nich je možné popsat řešené území, sestavit digitální model terénu a vytvořit vhodnou schematizaci modelu. Jednotlivé topologické podklady jsou popsány v následujících kapitolách.

3.1.1 Vytvoření (aktualizace) DMT

Digitální model terénu byl sestaven z Digitálního modelu reliéfu České Republiky 5. Generace (DMR 5G). V místech kde nebyl DMR 5G dostupný, byl použit DMR 4G od ČÚZK. Dno toku bylo vymodelováno pomocí lineární interpolace zaměřených příčných profilů s akceptováním směrového vedení toku. K tomuto kroku byl použit software DMT ATLAS. Sestavení DMT včetně generování map hladin a map hloubek proběhlo též v softwaru DMT ATLAS. Výstupy byly vygenerovány jako ASCII GRID pixelu 2m x 2m. Všechny souřadnice DMT jsou v polohopisném systému S_JTSK a výškovém Bpv.

3.1.2 Mapové podklady

Pro potřeby studie byla vybrána Základní mapa České republiky 1:10 000 (ZM 10) aktualizovaná Zeměměřickým úřadem v roce 2011. Jedná se o nejpodrobnější základní mapu středního měřítka.

ZM 10 obsahuje polohopis, výškopis a popis. Předmětem polohopisu jsou sídla a jednotlivé objekty, komunikace, vodstvo, hranice správních jednotek a katastrálních území (včetně územně technických jednotek), hranice chráněných území, body polohového a výškového bodového pole, porost a povrch půdy. Předmětem výškopisu je terénní reliéf zobrazený vrstevnicemi a terénními stupni. Popis mapy sestává z druhového označení objektů, standardizovaného geografického názvosloví, kót vrstevnic, výškových kót, rámových a mimorámových údajů. Obsahem mapových listů je i rovinář pravoúhlá souřadnicová síť a zeměpisná síť. Předměty obsahu mapy jsou znázorněny pouze na území České republiky. Míra generalizace polohopisu je na takové úrovni, že nedochází k

rozsáhlejšímu spojování jednotlivých staveb do bloků a ke zjednodušování tvarů. Mapa tak poskytuje velmi podrobnou představu o zobrazovaném území.

Data ZM 10 se stavem aktualizace v roce 2009 a dříve byly odvozovány z vektorových výstupů, které vznikaly v průběhu tvorby vizualizací ZABAGED®. Jejich rasterizaci a následnou transformací do souřadnicového systému S-JTSK vznikl obraz státního území, který byl strukturován po listech ZM 10. Dalším zpracováním byla pořízena barevná bezešvá rastrová mapa s barevnou hloubkou 4 bit, jednotnou barevnou paletou a hustotou 400 dpi. Z důvodu nižší kvality rozlišení těchto výstupů bylo v roce 2011 přistoupeno k nahrazení těchto souborů novými rastry, které vznikly přímým odvozením z tiskových podkladů ZM 10. Tyto rastry mají barevnou hloubku 24 bit a rozlišení 800 dpi. Data ZM 10 se stavem aktualizace v roce 2010 a později jsou odvozovány přímo z postscriptových souborů nové technologické linky. Tyto soubory jsou službou aplikačního serveru rastrovány s rozlišením 800 dpi, barevnou hloubkou 8 bit a jednotnou barevnou paletou. Do doby pokrytí celého území ČR soubory z nové technologické linky budou uživatelům poskytovány vždy obě datové sady. Tvorbu a aktualizaci ZM 10 zajišťuje Zeměměřický úřad.

ZM 10 je distribuována ve formátu TIF po segmentech bezešvé mapy – čtvercích 2x2 km, se stranami rovnoběžnými se souřadnicovými osami S-JTSK.. Kromě grafického umisťovacího souboru je dodáván textový umisťovací soubor TFW a to pro zobrazení S-JTSK / Krovak EN. Tento soubor obsahuje souřadnice levého horního rohu umisťovacího čtverce a velikost pixlu v metrech pro dané rozlišení souboru. Předané soubory TIF mají rozlišení 3149x3149 (72DPI).

3.1.3 Geodetické podklady

Jak již bylo zmíněno v kapitole 1.4. bylo nutné provést úplně nové geodetické zaměření celé trati. Toto geodetické zaměření prováděla společnost Gefos a.s. v průběhu listopadu 2011. Dále byla ve studii použita projektová dokumentace skutečného provedení stavby Protipovodňová ochrana města Strakonice zpracovaná společností Sweco (Hydroprojekt) v roce 2012.

Pro přesnější vynesení průběhu záplavových čar byla k dispozici data z leteckého snímkování DMR 5G, která poskytlo Povodí Vltavy.

Jiné výskopisné podklady nebyly pro zpracování studie k dispozici.

3.2 Hydrologická data

Název hydrologického profilu: Otava nad Volyňkou, Otava Strakonice

Datum pořízení: 2012

Říční kilometr: ř. km 54,585; 53,370

Třída přesnosti dle ČSN 75 1400:

Velikost plochy povodí k profilu: 1286,5km², 1717,5km²

Číslo hydrologického povodí: 1-08-01-141, 1-08-02-046

N-leté průtoky: viz. tabulka č.3

N-leté průtoky porovnání: viz. tabulka č.4

Tabulka č.3 - N-leté průtoky (Q_N) v $m^3.s^{-1}$

Hydrologický profil	Datum pořízení	Říční kilometr	Q_5	Q_{20}	Q_{100}	Q_{500}	Třída přesnosti
Otava nad Volyňkou	2012	54,585	239	363	540	757	
Otava Strakonice LG	2012	53,370	267	422	656	955	

Tabulka č.4 – porovnání N-letých průtoků (Q_N) v $m^3.s^{-1}$

Vodní tok	Profil	N-leté průtoky (Q_N) v $m^3.s^{-1}$								datum předání
		1	2	5	10	20	50	100	500	
Otava	Otava nad Volyňkou			239		363		540	757	2012
	Otava nad Volyňkou			239		363		540		2005
%				0		0		0		
Otava	Otava Strakonice LG			267		422		656	955	2012
	Otava Strakonice LG			267		422		656		2005
%				0		0		0		

Z výše uvedené tabulky vyplývá, že hodnoty průtoků oproti původním hydrologickým datům se nezměnily. S ohledem na nové zaměření byly záplavové čáry vynášeny nad aktuálním rastrem.

3.2.1. Hydrologické poměry a jejich interpretace ve výpočtovém modelu

Pro zpracování studie byly použity základní hydrologické údaje ČHMÚ. V souladu s podmínkami zadání uplatnil řešitel tato data v hydraulických výpočtech vložením prvků se změnami hydrologických údajů do výpočtového modelu viz. tab. č. 3a. Implementovány do modelu byly prostřednictvím tzv. hodnot delta Q (dále jen dQ). Hodnoty dQ jsou rozdíly příslušných průtoků v jednotlivých uvedených profilech a reprezentují tedy úbytky průtoků v nich. Tyto změny průtoků jsou uvedeny v psaném podélém profilu a prvky pro jejich zadávání jsou součástí výpočtového modelu Hydrocheck.

Tabulka č.3a - Rekapitulace rozdělení hydrologických dat ve výpočtovém modelu

zdroj	Profil	od - do ř.km	N-leté průtoky (Q_N) v $m^3.s^{-1}$							
			1	2	5	10	20	50	100	500
DOP	Otava nad Brložským p.	35,540 – 53,370	139	192	278	355	441	571	682	993
dQ ₁	Otava LG Strakonice	53,370 – 54,585			267		422		656	955
dQ ₂	Otava nad Volyňkou	54,585 – 55,910			239		363		540	757
dQ ₃	nad soutokem s le. obtokem	55,910 – 56,65			169		253		353	502
dQ ₄	nad odbočením do le. obtoku	56,65 – 58,557			239		363		540	757

Hydrologická data Otava nad Brložským p. byla převzata z původní studie z roku 2005. Hodnoty dQ pro obtok (uvedené v tab. č.3a) byly získány hydraulickými výpočty objektu přelivu do obtoku a ve výpočtovém modelu byly uplatněny jejich výsledky. Ostatní hodnoty v tab. č.3a jsou základní hydrologické údaje ČHMÚ. Průtoky přelivem jsou vloženy do dQ obtoku, t.j. do „dQ_{obt_vy}“ a „dQ_{obt_vt}“.

3.3 Místní šetření

Místní šetření probíhalo v lednu 2013 a byla zpracována podrobná fotodokumentace. Každá fotografie je časově a prostorově lokalizovaná. Součástí fotodokumentace jsou i fotky ze starších studií. Lokalizace starší fotodokumentace nebyla dodatečně prováděna, v některých případech ale byly i starší fotky lokalizované.

Cílem místního šetření bylo:

- a) posouzení nutnosti doplňujícího geodetického zaměření. V případech rekonstrukcí objektů či vlastního koryta či jakékoli změně v korytě či inundačním území bylo posuzováno, zadali je, nebo není potřeba provést nové zaměření. Výsledek šetření je popsán v kapitole 3.1.3 Geodetické podklady.

b) posouzení drsnostních charakteristik. Cílem průzkumu bylo mimo jiné i posouzení drsnostních charakteristik, zejména v inundaci, kde se odtokové parametry mohly změnit novou výstavbou. Dále bylo potřeba určit drsnostní charakteristiky v území potenciálně zaplaveném povodní Q₅₀₀.

c) posouzení morfologie terénu z pohledu průtoku Q₅₀₀. Bylo nutné rozhodnout, zdali bude nutné rozšiřovat profily původního modelu, či nikoliv. Ne vždy se celá inundace podílí na průtoku. Na základě průzkumu byly některé profily v době sestavování modelu, proti původní studii rozšiřovány z výškopisu DMR 5G.

d) posouzení objektů z pohledu průtoku Q₅₀₀. Původní modely nepočítaly s tak velkým průtokem. Bylo tedy nutné posoudit průtokové parametry objektů i při této extrémní povodni. U některých objektů byly na základě pořízené fotodokumentace upraveny průtokové koeficienty či další parametry objektu, například rozsah zasahování mostovky do průtočného profilu.

e) posouzení ohrožení zaplavovaného území povodní. Tato část průzkumu měla za úkol pořídit fotodokumentaci ohrožených objektů v inundaci tak, aby později bylo možné rozhodovat, zda a v jakém rozsahu bude nemovitost ohrožena. Jedná se zde ale o doplňkovou informaci pro analýzy v GIS a v žádném případě se nejedná o evidenci a podrobnou dokumentaci jednotlivých objektů zasažených vodou.

Při stavbě modelu pak byla pořízená fotodokumentace významným nástrojem pro rozhodování kde a jak model upravovat.

3.4 Doplňující podklady – technické a provozní informace, zprávy, studie, dokumenty, literatura

V průběhu zpracování nebyly poskytnuty žádné další podklady.

3.5 Normy, zákony, vyhlášky

Postupy zpracování studie byly v souladu s níže uvedenými dokumenty v jejich platném znění:

- [1] ČSN 75 0110 Vodní hospodářství – Terminologie hydrologie a hydroekologie
- [2] ČSN 75 1400 Hydrologické údaje povrchových vod.
- [3] ČSN 75 2410 Malé vodní nádrže.
- [4] Zákon č. 240/2000 Sb. o krizovém řízení a změně některých zákonů (krizový zákon).
- [5] Nařízení vlády č. 462/2000 Sb., k provedení §27 odst. 8 a §28 odst. 5 zákona č. 240/2000 Sb., o krizovém řízení a o změně některých zákonů (krizový zákon).
- [6] Vyhláška MŽP 236/2002 Sb., o způsobu a rozsahu zpracovávání návrhu a stanovování záplavových území.
- [7] Vyhláška č. 470/2001 Sb., kterou se stanoví seznam významných vodních toků a způsob provádění činností souvisejících se správou vodních toků.
- [8] Zákon č. 114/1992 Sb., o ochraně přírody a krajiny.

3.6 Vyhodnocení a příprava podkladů

Poskytnuté podklady plně pokryly zájmové území. Geodeticky zaměřené příčné profily musely být místy rozšířeny, aby provedly extrémní průtok Q₅₀₀. Pro rozšíření profilů bylo použito podkladu DMR 5G, jehož přesnost je pro potřeby modelu v okrajových částech inundace dostatečná.

4 Popis koncepčního modelu

Základním požadavkem na zpracování záplavových území je provádění výpočtů metodou ustáleného nerovnoměrného proudění. Pro tento typ výpočtů je vhodný program HYDROCHECK verze 5.X, který používáme.

Jedná se o programový prostředek vyvinutý společností Hydrosoft Veleslavín s.r.o. v devadesátých letech ve spolupráci s Podniky povodí. Řeší ustálené nerovnoměrné proudění v otevřených neprizmatických korytech v režimových oblastech říčních i bystřinných. Základem řešení nerovnoměrného proudění je obecná metoda po úsecích. Významné objekty byly počítány funkciemi programu Hydrocheck jako objekty.

Program Hydrocheck je mimo jiné vhodným nástrojem pro posuzování aktivní zóny, či hodnocení map rizik, neboť umožňuje vyhodnocování svislicových rychlostí v příčném řezu. Díky tomu je možné vyhodnocovat rychlosti v inundaci a vytvářet mapu rychlostí jako plošnou informaci, nikoliv jen bodovou.

4.1 Schematizace řešeného problému

Schéma modelu je poměrně jednoduché. Koryto prochází prakticky v celém zájmovém úseku údolnicí a inundace není široká. Nebylo tedy nutné zpracovávat dílčí úseky toku jako okruhovou síť. Vzdálenosti příčných profilů v intravilánu jsou cca 50m, v extravilánu cca 200 až 250 metrů, v místech, kde to bylo potřeba hustěji.

4.2 Posouzení vlivu nestacionarity proudění

Vliv nestacionarity je ve výpočtech zanedbán. Studie je zpracována metodou stacionárního nerovnoměrného proudění, což je v souladu s požadavky objednatele.

4.3 Způsob zadávání OP a PP

Jelikož se jedná o výpočet ustáleného nerovnoměrného proudění v říčním korytě, zadává se okrajová podmínka v dolním výpočtovém profilu v podobě hladiny a průtoku. V místě významných přítoků, pro které jsou k dispozici hydrologické údaje, se zadává změna průtoku. Jiné okrajové ani počáteční podmínky výpočtu se nezadávají.

5 Popis numerického modelu

5.1 Použité programové vybavení

Vlastní výpočty byly prováděny metodou ustáleného nerovnoměrného proudění v programu HYDROCHECK 5.X, který se osvědčil při výpočtech obdobných studií. Základní výhodou tohoto programu je možnost rozdělení příčného profilu na libovolné segmenty podle charakteru proudění v jednotlivých částech příčného profilu. Program zobrazuje i podrobné rozdělení rychlostí v příčném profilu a rozdělení aktivní zóny v příčném profilu.

Pro výpočty konzumpčních křivek významných objektů byl použit nástroj - výpočty objektů, který je přímou součástí programu HYDROCHECK 5.X.

Kromě metody nerovnoměrného proudění bývá užíváno i nástrojů rovnoměrného proudění pro stanovení konzumpční křivky dolní okrajové podmínky.

Pro vynášení záplavových čar z vypočtených úrovní hladin do mapového podkladu je využíváno funkcí Hydrochecku, který generuje vypočtené průsečíky hladin v profilech do mapy.

5.2 Vstupní data numerického modelu

Základem prací na studii je podrobný terénní průzkum. Na základě terénního průzkumu a kvalitní fotodokumentace jsou určeny drsnostní charakteristiky a později vynášeny záplavové čáry a aktivní zóna.

Podkladem pro práci bylo podrobné geodetické zaměření v rozsahu potřebném pro jednorozměrný matematický model, tedy příčné a údolní profily a veškeré objekty. Kromě toho byly pro vynášení záplavové čáry a aktivní zóny použity všechny měřené body v rámci TPE.

Základním prvkem zadání je příčný profil - jeho geometrický tvar a rozměry, včetně součinitele drsnosti omočeného profilu.

Průtočný profil je možno rozdělit pomocí fiktivních svislic na vlastní koryto a přilehlé části inundace, ohraničené svislými rovinami, vedenými například v linii břehové hrany koryta. Jednotlivé části příčného profilu mají různou drsnost a s tím souvisí i různé rychlosti proudění a výsledné poloha hladiny vody v profilu.

Na základě fotodokumentace a poznámek získaných při rekognoskaci terénu byly voleny hodnoty Manningova drsnostního součinitele n pro jednotlivé části omočeného profilu.

Kromě vytvoření geometrického modelu říční sítě včetně objektů je pro simulace nerovnoměrného proudění nutné zadat okrajové podmínky. Jedná se především o průtok a označení počátečního (popřípadě koncového) profilu, ve kterém má být průběh proudění řešen. Dále se zadává hladina v počátečním profilu, pokud není zvolen režim jejího automatického výpočtu z konzumpční křivky.

5.2.1 Morfologie vodního toku a záplavového území

Strakonice pod soutokem s Volyňkou

Ve Strakonicích proběhla v roce 2012 nákladná a rozsáhlá výstavba PPO na průtok Q_{100} . Tato úprava (pouze část byla předmětem výstavby v roce 2012), začíná pod Strakonicemi u železničního mostu a končí na pravém břehu Volyňky u zbrojovky a dnes chrání celý pravý břeh před Q_{100} .

Na levém břehu probíhá vybudovaná PPO od železničního mostu až po soutok s Volyňkou. I část levobřežní PPO byla v roce 2012 navýšována tak, aby ochránila město před Q_{100} .

Je ale třeba mít na paměti, že je Otava ve Strakonicích v celém městě ohazovaná a že při překročení návrhového průtoku PPO dojde k přelití ochranných hrází i zdí, celé centrum města bude zaplavené vodou a ve velké části města bude hloubka vody větší než 1,5 metru.



Strakonice nad soutokem s Volyňkou až po Nový Dražejov

Nad mostem J. Palacha je koryto dostatečně kapacitní a nevyžaduje žádné úpravy. V záplavovém území Q₅ až Q₂₀ je jen několik nemovitostí v kempu na pravém břehu a u sportovišť na ostrově Velká Louka.



V Novém Dražejově je v dosahu Q₁₀₀ okraj zástavby na levém břehu. Při této povodni by zde ale nemělo dojít k větším škodám. Na pravém břehu je v dosahu Q₁₀₀ několik nemovitostí.

5.2.2 Drsnosti hlavního koryta a inundačních území

Vzhledem k tomu, že nová verze programu Hydrocheck umožňuje zadávání drsností nepřímo pomocí kódů, byl změněn způsob práce s drsnostmi. Dříve bylo jen velmi těžké měnit bodové drsnosti v profilech z tohoto důvodu byly vyplňovány bodové drsnosti pouze mimo koryto a v korytě byla používána globální drsnost, kterou bylo možné v celém úseku trati snadno změnit.

Nyní byly vyplňovány všechny drsnosti v celém přičném profilu a snadná možnost korigovat drsnosti během výpočtu zůstává zachována.

Použité drsnosti dle Manninga v korytě

Popis	n
Beton v dobrém stavu	0,020
Beton starý	0,035
dlažba	0,025 - 0,045
tráva	0,035 - 0,045
keře	0,060 - 0,090

Použité drsnosti dle Manninga v inundaci

Popis	n
silnice chodníky - asfalt, beton	0,020 - 0,025
cesta	0,035 - 0,040
louky, pole	0,035 - 0,045
stromy, keře	0,060 - 0,120
hustý porost	0,120 - 0,160
zahrady s ploty, zástavba	0,160 - 0,200 nebo vypuštěné z výpočtu

5.2.3 Hodnoty okrajových podmínek

Dolní okrajová podmínka byla stanovena v počátečním profilu řešeného úseku – profil P168, ř. km 52,112. Pro řešený úsek jsou k dispozici průtoky pro Q_5 , Q_{20} , Q_{100} a Q_{500} . Jejich hodnoty jsou v následující tabulce č.5. Hladiny k nim byly určeny z výsledků původní studie a jsou uvedeny v tabulce č.5a.

Tabulka č.5 - N-leté povodňové průtoky uvažované při hydraulickém řešení

profil DOP/N- leté průtoky Q_N	Úsek toku (km od - do)	Q_5	Q_{20}	Q_{100}	Q_{500}	Poznámka
profil P168, ř. km 52,112	52,112– 53,370	278	441	682	993	

Tabulka č.5a – Hladiny z původní studie

profil DOP/H – výška hladiny	ř.km	H_5	H_{20}	H_{100}	H_{500}	Poznámka
profil P168	52,112	387,88	388,22	388,59	389,00	

Pro celý řešený úsek jsou změny průtoku uvedeny v kap. 3.2.1. tab. 3a.

5.2.4 Hodnoty počátečních podmínek

Jak již bylo řečeno dříve, počáteční podmínky se v případě ustáleného nerovnoměrného proudění nezadávají.

5.2.5 Diskuze k nejistotám a úplnosti vstupních dat

Vstupní data byla pro zpracování studie dostatečná.

5.3 Popis kalibrace modelu

Jak již bylo uvedeno v kapitole 2.2, pro kalibraci modelu byly k dispozici kvalitní podklady, tedy dostatek povodňových značek z extrémní povodně v roce 2002 a následné jarní povodně v roce 2006. Z těchto značek byl sestaven podélný profil obou povodní a výpočty byly na tento podélný profil kalibrovány.

V následující tabulce (tab. č.6) jsou kalibrační hodnoty pro úsek Strakonice.

Tabulka č.6 – Kalibrace modelu

Název značky	Název profilu	ř. km	Kalibrační průtok (m ³ /s)	Kóta značky (m n. m.)	Výška vypočítané hladiny (m n. m.)	Rozdíl (m)	N-letos
OTA_L_049	pod P175	53,184	750,00	390,87	390,66	-0,21	Q ₁₀₀ - Q ₅₀₀
OTA_L_048	pod o025Md	53,375	721,38	391,21	391,04	-0,17	Q ₁₀₀ - Q ₅₀₀
OTA_L_047	o25Mh	53,402	721,38	390,26	391,12	0,86	Q ₁₀₀ - Q ₅₀₀
OTA_P_046	mezi P179 a P180	53,588	721,38	391,08	391,46	0,38	Q ₁₀₀ - Q ₅₀₀
OTA_L_045	mezi P181 a P182	53,799	721,38	391,58	391,70	0,12	Q ₁₀₀ - Q ₅₀₀
OTA_L_044	pod o26J_d	53,910	721,38	391,68	391,73	0,05	Q ₁₀₀ - Q ₅₀₀
OTA_P_043	nad o27Mh	54,120	721,38	392,20	392,11	-0,09	Q ₁₀₀ - Q ₅₀₀
OTA_L_042	mezi o27Mh a P185	54,146	721,38	392,18	392,22	0,04	Q ₁₀₀ - Q ₅₀₀
OTA_L_041	pod P186	54,235	721,38	392,20	392,35	0,15	Q ₁₀₀ - Q ₅₀₀
OTA_L_040	mezi P188 a P189	54,451	721,38	392,66	392,61	-0,05	Q ₁₀₀ - Q ₅₀₀
OTA_L_039	mezi P188 a P189	54,523	721,38	392,82	392,75	-0,07	Q ₁₀₀ - Q ₅₀₀
OTA_L_038	pod o28M	54,640	587,45	393,21	393,12	-0,09	Q ₂₀ - Q ₁₀₀
OTA_L_037	mezi P191 a P192	54,797	587,45	393,48	393,34	-0,14	Q ₂₀ - Q ₁₀₀
OTA_L_036	nad o29Jh	54,863	587,45	393,51	393,43	-0,08	Q ₂₀ - Q ₁₀₀
OTA_L_035	nad P194 a P195	55,044	587,45	393,19	393,75	0,56	Q ₂₀ - Q ₁₀₀
OTA_L_034	nad P194 a P195	57,397	587,45	396,74	396,31	-0,43	Q ₂₀ - Q ₁₀₀

6 Výstupy z modelu

Hlavním výstupem z matematického modelu je psaný podélný profil, jež je zpracován pro všechny průtokové epizody a jež je hlavním nástrojem pro tvorbu záplavových čar. Psaný podélný profil kromě vypočtené úrovni hladiny obsahuje i informaci o výšce dna (nejhlubší dno), úroveň levého a pravého břehu (břehová hrana) a dále úrovni spodní hrany mostovky mostních objektů. Profil je doplněn o poznámku, upřesňující umístění daného příčného řezu.

Psaný podélný profil je uveden na následující stránce.

Hladiny n-letých průtoků

Profil	ř.km objektů	Kóta dna	Levý břeh	Pravý břeh	Z5	Q5	Z20	Q20	Z100	Q100	Z500	Q500	Kóta mostovky	Popis objektu
		[km]	[m n.m.]	[m n.m.]	[m n.m.]	[m n.m.]	[m3/s]	[m n.m.]	[m3/s]	[m n.m.]	[m3/s]	[m n.m.]	[m n.m.]	
P168	52,112	384,04	387,08	387,70	387,88	278,0	388,21	441,0	388,59	682,0	389,00	993,0		
P169	52,454	384,70	387,99	387,38	388,50	278,0	388,78	441,0	389,11	682,0	389,48	993,0		
P170	52,634	384,40	388,18	387,78	388,71	278,0	389,01	441,0	389,36	682,0	389,74	993,0		
P171	52,750	384,67	388,54	387,78	388,83	278,0	389,17	441,0	389,55	682,0	389,95	993,0		
P172	52,926	385,12	388,57	388,29	389,12	278,0	389,50	441,0	389,92	682,0	390,35	993,0		
o24Md	52,958	385,47	388,92	388,64	389,12	278,0	389,50	441,0	389,93	682,0	390,37	993,0		
o24M	52,980	385,72	387,66	388,34	389,12	278,0	389,50	441,0	389,93	682,0	390,37	993,0	391,78	Železniční most most
P173	53,040	384,77	388,03	388,34	389,21	278,0	389,64	441,0	390,13	682,0	390,64	993,0		
P174	53,117	385,95	387,96	388,49	389,33	278,0	389,82	441,0	390,38	682,0	390,98	993,0		
P175	53,184	385,85	388,09	388,78	389,41	278,0	389,92	441,0	390,52	682,0	391,15	993,0		
P176	53,248	385,67	388,43	388,58	389,48	278,0	390,00	441,0	390,61	682,0	391,25	993,0		
P177	53,347	385,80	388,27	388,73	389,57	278,0	390,12	441,0	390,78	682,0	391,48	993,0		
o025Md	53,375	385,78	388,25	388,71	389,62	267,0	390,20	422,0	390,87	656,0	391,60	955,0		
o25M	53,397	385,76	388,23	387,74	389,67	267,0	390,27	422,0	390,96	656,0	391,72	955,0	394,12	Silniční most
o25Mh	53,402	385,84	388,10	388,33	389,67	267,0	390,27	422,0	390,96	656,0	391,72	955,0		
P178	53,427	386,24	388,50	388,73	389,67	267,0	390,27	422,0	390,96	656,0	391,72	955,0		
P179	53,528	386,73	388,40	388,81	389,78	267,0	390,39	422,0	391,12	656,0	391,91	955,0		
P180	53,656	386,71	389,14	388,85	389,98	267,0	390,64	422,0	391,43	656,0	392,29	955,0		
P181	53,774	386,46	389,30	389,12	390,06	267,0	390,71	422,0	391,49	656,0	392,34	955,0		
P182	53,870	386,69	389,58	388,82	390,13	267,0	390,78	422,0	391,54	656,0	392,35	955,0		
o26J_d	53,910	387,04	394,58	394,71	390,15	267,0	390,78	422,0	391,54	656,0	392,35	955,0		
o26J	53,914	388,29	394,58	394,71	390,37	267,0	391,00	422,0	391,69	656,0	392,43	955,0		Pohyblivý jez
o26Jh	53,917	386,53	390,57	392,35	390,37	267,0	391,00	422,0	391,69	656,0	392,43	955,0		
P183	53,937	386,43	390,47	392,25	390,40	267,0	391,04	422,0	391,76	656,0	392,52	955,0		
P184	54,025	385,93	388,59	388,76	390,46	267,0	391,13	422,0	391,88	656,0	392,69	955,0		
o27Md	54,093	386,39	389,05	389,22	390,49	267,0	391,17	422,0	391,93	656,0	392,74	955,0		
o27M	54,115	386,54	388,98	390,74	390,50	267,0	391,17	422,0	391,93	656,0	392,81	955,0	392,06	Silniční most
o27Mh	54,120	386,48	389,65	389,54	390,50	267,0	391,17	422,0	391,93	656,0	392,81	955,0		
P185	54,162	386,01	389,18	389,07	390,58	267,0	391,29	422,0	392,09	656,0	393,04	955,0		
P186	54,235	386,74	388,97	389,00	390,61	267,0	391,33	422,0	392,15	656,0	393,10	955,0		

TVORBA MAP POVODŇOVÉHO NEBEZPEČÍ A POVODŇOVÝCH RIZIK V OBLASTECH POVODÍ HORNÍ VLTAVY, BEROUNKY A DOLNÍ VLTAVY

B. TECHNICKÁ ZPRÁVA – HYDRODYNAMICKÉ MODELY A MAPY POVODŇOVÉHO NEBEZPEČÍ

Profil	ř.km objektů	Kóta dna	Levý břeh	Pravý břeh	Z5	Q5	Z20	Q20	Z100	Q100	Z500	Q500	Kóta mostovky	Popis objektu
	[km]	[m n.m.]	[m n.m.]	[m n.m.]	[m n.m.]	[m3/s]	[m n.m.]							
P187	54,313	386,10	388,88	389,84	390,67	267,0	391,41	422,0	392,25	656,0	393,21	955,0		
P188	54,417	385,93	388,02	389,73	390,72	267,0	391,47	422,0	392,33	656,0	393,30	955,0		
P189	54,551	387,15	388,95	389,52	390,81	267,0	391,62	422,0	392,57	656,0	393,64	955,0		
P190	54,612	387,36	393,10	392,25	390,98	239,0	391,83	363,0	392,86	540,0	394,05	757,0		
o28M	54,640	387,54	392,91	392,64	390,98	239,0	391,83	363,0	392,86	540,0	394,14	757,0	392,64	Silniční most
o28Mh	54,652	387,51	392,92	390,27	390,98	239,0	391,83	363,0	392,86	540,0	394,14	757,0		
P191	54,727	387,33	392,74	390,09	391,06	239,0	391,92	363,0	392,95	540,0	394,23	757,0		
P192	54,830	387,90	392,67	391,62	391,17	239,0	392,06	363,0	393,13	540,0	394,44	757,0		
o29J_d	54,855	388,08	393,35	393,45	391,17	239,0	392,06	363,0	393,13	540,0	394,44	757,0		
o29J	54,860	389,80	393,35	393,45	391,33	239,0	392,08	363,0	393,14	540,0	394,45	757,0		Pohyblivý jez
o29Jh	54,863	388,95	391,01	391,07	391,33	239,0	392,08	363,0	393,14	540,0	394,45	757,0		
P193	54,875	389,08	391,14	391,20	391,36	239,0	392,10	363,0	393,16	540,0	394,45	757,0		
o30L	54,928	389,65	391,43	391,45	391,58	239,0	392,30	363,0	393,34	540,0	394,59	757,0	394,24	Lávka
P194	55,020	388,69	393,79	392,90	391,79	239,0	392,47	363,0	393,47	540,0	394,68	757,0		
P195	55,155	389,11	393,76	392,49	391,92	239,0	392,61	363,0	393,57	540,0	394,75	757,0		
P196	55,277	389,03	392,39	392,41	392,17	239,0	392,89	363,0	393,87	540,0	395,03	757,0		
P197	55,394	389,51	392,68	392,24	392,29	239,0	393,00	363,0	393,95	540,0	395,09	757,0		
P198	55,556	388,98	392,54	391,34	392,50	239,0	393,21	363,0	394,12	540,0	395,22	757,0		
P199	55,692	389,17	393,02	392,27	392,72	239,0	393,47	363,0	394,39	540,0	395,45	757,0		
P200	55,877	390,07	392,52	393,01	392,98	239,0	393,74	363,0	394,65	540,0	395,69	757,0		
o31L	55,980	389,37	392,74	392,60	393,10	169,0	393,84	253,0	394,78	353,0	395,82	502,0	394,23	Lávka
P201	55,985	390,55	393,29	393,29	393,11	169,0	393,84	253,0	394,79	353,0	395,82	502,0		
P202	56,058	389,57	392,29	393,16	393,24	169,0	393,98	253,0	394,91	353,0	395,95	502,0		
P203	56,162	390,17	392,52	394,15	393,40	169,0	394,11	253,0	395,01	353,0	396,05	502,0		
P204	56,371	390,61	393,82	394,77	394,10	169,0	394,62	253,0	395,30	353,0	396,24	502,0		
o32H	56,628	392,74	393,63	393,43	394,48	225,4	395,00	341,6	395,64	503,6	396,53	707,4		Boční přeliv
P205	56,690	390,88	393,62	393,76	394,57	239,0	395,09	363,0	395,72	540,0	396,60	757,0		
P206	56,863	390,76	393,68	394,01	394,66	239,0	395,19	363,0	395,82	540,0	396,68	757,0		
P207	56,993	390,94	395,30	393,67	394,75	239,0	395,27	363,0	395,90	540,0	396,74	757,0		
P208	57,169	391,45	393,82	394,05	394,87	239,0	395,38	363,0	395,99	540,0	396,81	757,0		
P209	57,397	391,84	394,34	394,59	395,06	239,0	395,55	363,0	396,14	540,0	396,91	757,0		
P210	57,594	391,95	396,32	394,96	395,23	239,0	395,72	363,0	396,30	540,0	397,04	757,0		

TVORBA MAP POVODŇOVÉHO NEBEZPEČÍ A POVODŇOVÝCH RIZIK V OBLASTECH POVODÍ HORNÍ VLTAVY, BEROUNKY A DOLNÍ VLTAVY

B. TECHNICKÁ ZPRÁVA – HYDRODYNAMICKÉ MODELY A MAPY POVODŇOVÉHO NEBEZPEČÍ

Profil	ř.km objektů	Kóta dna	Levý břeh	Pravý břeh	Z5	Q5	Z20	Q20	Z100	Q100	Z500	Q500	Kóta mostovky	Popis objektu
	[km]	[m n.m.]	[m n.m.]	[m n.m.]	[m n.m.]	[m3/s]	[m n.m.]							
P211	57,799	392,48	397,60	395,18	395,46	239,0	395,95	363,0	396,51	540,0	397,21	757,0		
P212	58,000	392,45	397,37	395,46	395,77	239,0	396,24	363,0	396,80	540,0	397,46	757,0		
P213	58,248	392,76	395,30	395,69	396,12	239,0	396,56	363,0	397,09	540,0	397,71	757,0		
P214	58,390	393,48	395,82	395,40	396,40	239,0	396,83	363,0	397,35	540,0	397,94	757,0		
P215	58,557	393,58	396,03	396,24	396,58	239,0	397,00	363,0	397,51	540,0	398,09	757,0		

6.1 Záplavové čáry pro průtoky Q_5 , Q_{20} , Q_{100} a Q_{500}

Z vypočítaných úrovní hladiny v jednotlivých profilech byl interpretován průběh záplavové čáry. Z tohoto znázornění a z průběhu hladin v podélém profilu je patrný rozsah zatápěných ploch a objektů. Dále se tímto způsobem zjistí překážky průtoku, které působí patrné vzdutí hladiny, jejichž odstraněním nebo rekonstrukcí je možno rozsah zátop redukovat.

Záplavové čáry jsou vyneseny na podkladě rastrové Základní mapy ČR v měřítku 1 : 10 000. Zakreslení záplavových čar, zejména mimo zaměřené přičné profily, zahrnuje nepřesnosti použité mapy. Snahou vyeliminovat nepřesnosti je užití bodového pole z DMT mimo zaměřené přičné profily. Při posouzení konkrétního místa je tedy rozhodující kóta hladiny odvozená z podélného profilu a skutečná nadmořská výška terénu posuzovaného místa.

Při aplikaci výsledků výpočtu je nutno si uvědomit, že přírodní třírozměrný v čase proměnný děj je popisován stacionárním jednorozměrným matematickým výpočtem s použitím mnoha zjednodušujících předpokladů a odhadů. Přesnost výpočtu je limitována zejména hustotou přičných profilů použitych k výpočtu a odhadem drsnostního součinitele.

Hodnoty úrovně hladin získané interpolací mezi jednotlivými výpočtovými přičnými profily nemusí odpovídat skutečnosti.

Nejsou zde postiženy jevy běžně se vyskytující při povodních - hladina v inundaci nemusí být v jednom přičném profilu stejná jako v korytě, v obloucích dochází k přičnému převýšení hladiny, hladina je rozvlněná, atd.

Výpočet je proveden pro ideální stav koryta. Není započítáno upcpání průtočného profilu plaveným materiélem, které hrozí zejména v mostních profilech. Livil na proudění má i sezónní stav vegetačního pokryvu.

Výsledky tohoto výpočtu nejsou neměnné. Může dojít ke změnám vlivem zpřesnění topografických podkladů, změny hydrologických údajů, použitím přesnějších výpočetních modelů, nebo vlivem změn v průtočném profilu toku.

6.2 Hloubky pro průtoky Q_5 , Q_{20} , Q_{100} a Q_{500}

Pro tvorbu mapy hloubek byl použit program Atlas - DMT s podkladem modelu terénu DMR 5G a vypočtenými hladinami v jednotlivých profilech. Průnikem obou modelů vzniky dva výstupy, mapa hladin a mapa hloubek. Jak již bylo popsáno výše, v prvním kroku vznikne hrubá mapa hloubek, která je jedním z podkladů pro určení průběhu záplavových čar. Skutečná záplava se ale od tohoto výstupu liší a slouží následně k jeho oříznutí. Oříznutím hrubé mapy hloubek polygonem záplavové čáry vzniká již čistá mapa hloubek i mapa hladin.

6.3 Rychlosti pro průtoky Q_5 , Q_{20} , Q_{100} a Q_{500}

Při výpočtu nerovnoměrného proudění byly z výpočetního programu Hydrocheck exportovány pro jednotlivé profily a jednotlivé průtokové epizody průměrné celoprofilové rychlosti. Takto získaná hodnota rychlosti pak byla v GIS přiřazena jako bodová informace průsečíku daného přičného řezu a osy toku. Pro každý profil a jednu průtokovou epizodu tak byla získána informace o rychlosti, celkem tedy pro každý profil 4 hodnoty rychlosti (Q_5 – Q_{500}).

6.4 Zhodnocení nejistot ve výsledcích výpočtu

Jak bylo uvedeno výše, výpočetní model 1D je vždy schematizací skutečnosti. Hlavní míra nejistoty však neplyne ze špatného odhadu drsnostních charakteristik, nebo nedostatečně popsané topologie území a koryta, ale ze vstupních průtokových dat, jejichž přesnost je nezřídka v rozmezí ± 40 – 60% dle uvedené třídy přesnosti. Dalším již zmíněným faktorem, s ním model nepočítá, je množství plavenin, které postupují tokem při povodni, ať už se jedná například o ledové kry nebo antropogenní materiál či dřevní hmotu. Tyto plaveniny, pak zejména v prostoru objektů mohou způsobit naprostě převratné změny průtočného profilu (částečné nebo úplné upcpání), které pak mají na průběh hladiny zásadní vliv.

Pokud však odhlédneme od nejistot způsobených nepřesnými hydrologickými daty a budeme vztahovat rozsah záplavového území ke konkrétnímu průtoku (a nikoliv k deklarované četnosti povodně) a budeme postupovat v souladu s Metodikou stanovení SZÚ, tedy výpočet bez plavenin, můžeme konstatovat, že vypořídací schopnost modelu je značně vysoká. Největší ovlivnění hladin nastává v místech objektů, jejichž nesprávné posouzení, či špatně provedený výpočet ve vztahu k zatopení dolní vodou, má na úroveň hladiny zásadní vliv. Poměrně významné je i ovlivnění výpočtu chybě umístěnými dílčími profily v příčném řezu, naopak chybný odhad drsnosti byť v řádu desítek procent se ve volné trati dramaticky neprojeví.